

書用大學定部

# 電磁學

國立編譯館大學用書編審委員會主編

周達如編著

出版館譯編立國  
印行局書正中

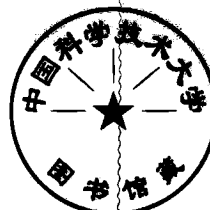
部定大學用書

電磁學

(下冊)

國立編譯館大學用書編審委員會主編

周達如編者



國立編譯館出版  
正中書局印行



版權所有 翻印必究

中華民國五十九年五月臺初版

中華民國六十一年三月臺三版

部定電磁學(全二冊)  
大學用書

下冊 基本定價 二元三角

(外埠酌加運費滙費)

主編者 國立編譯館員會  
大學用書編審委員會

編著者 周達如

出版者 國立編譯館

發行人 黎元

發行印刷 正中書局

(臺灣臺北市衡陽路二十號)

海外總經銷集成圖書公司

(香港九龍油麻地北海街七號)

海風書店

(日本東京都千代田區神保町一丁目五六番地)

新聞局出版事業登記證 局版臺業字第〇一九九號(6399)志  
(1000)

# 電 磁 學

## 目 次

第八章 穩定電流所生之磁場 .....	363
8-1. Biot-Savart 定律 .....	364
8-2. 螺管線圈之磁場 .....	368
8-3. 磁通與磁通密度 .....	374
8-4. 靜磁位 .....	380
8-5. Ampère 廻路定律 .....	385
8-6. 圓環線圈 .....	390
8-7. Stokes 定理於磁場之應用 .....	393
第九章 磁場內電荷之運動 .....	402
9-1. 作用於運動電荷之磁力 .....	402
9-2. Ampère 之磁力定律 .....	406
9-3. 磁雙極在磁場內之運動 .....	411
9-4. 永久磁鐵直流電錶 .....	416
9-5. Hall 效應 .....	423
9-6. 真空磁場內電荷之運動 .....	428
第十章 電磁感應 .....	439
10-1. Faraday 電勢定律與 Lenz 定律 .....	439
10-2. 一般向量場之向量位及無向量位 .....	445

## 2 電磁學（下）

10-3. 場位方程式之低頻率解.....	449
10-4. 感體與電感.....	452
10-5. 若干特殊感體電感之計算.....	460
10-6. 穩定磁場內之能量關係.....	464
10-7. 單導體觀念與通鏈變化觀念.....	472
10-8. 通鏈變化時之功率變換.....	477
10-9. D'Arsonval 微流計.....	481
 第十一章 磁質.....	498
11-1. 物質之磁性及磁極化.....	499
11-2. 強磁性理論.....	506
11-3. 強磁性物質之磁化.....	513
11-4. 永久磁鐵.....	521
11-5. 均勻磁場內之磁性物體.....	527
11-6. 磁化曲線及其測量.....	533
11-7. 靜磁位與等值電流.....	538
11-8. 發生磁場所需之功.....	545
 第十二章 交變電流.....	557
12-1. 交流串聯元件之解法.....	558
12-2. 交流串聯元件之穩態.....	564
12-3. Kirchhoff 定律在交流網路之應用.....	568
12-4. 交流網路問題之解析法與圖解法.....	573
12-5. 非 Ohm 電路元件.....	580
12-6. 交流電橋與其他交流儀器.....	585
12-7. 感應性耦合.....	590

第十三章 電磁波與輻射 .....	606
13-1. Maxwell 方程式.....	607
13-2. 非導電各向等性媒質內平面波之擴播.....	610
13-3. 光學定律.....	615
13-4. Poynting 向量.....	621
13-5. 電位之遲延.....	627
13-6. 振盪雙極之輻射.....	630
13-7. 高頻率送電線.....	639
13-8. 導波器.....	643
附錄一 基本常數.....	656
附錄二 化學週期表.....	658
附錄三 附有星號習題之答案.....	660
中英文索引.....	672

## 第八章 穩定電流所生之磁場

自1820年 Oersted 發現通有電流導體可對附近之磁針作用磁力之後，曾引起若干學者對於電流之磁效作熱烈研究；不久即有人發現此種磁效不但發生於導體外部，亦可存在導體之內部。Ampère 亦曾發現兩平行導體通有電流時，兩導體間有力作用存在。電流之方向相同時，兩導體將互相吸引；電流之方向相反時，兩導體將互相排斥。於 1820 年末葉，Arago 曾將通有電流之導線置入鐵屑內，發現鐵屑被吸着於導線表面之周圍；但於電流被拉斷時，鐵屑即停止互相吸引而自動由導線落下。Arago 與 Ampère 均曾用捲成螺旋 (helix) 通有電流之導線，將一挿入螺旋內之鋼針磁化。Arago 並發現此種磁化 (magnetization) 對於軟鐵僅為暫時之性質，於激磁電流除去後，軟鐵即迅速喪失其獲得之磁性。但對鋼針之磁化則可獲得一永久之磁性。諸如上述，均顯示電流內之運動電荷應為一切磁力之來源。Ampère 當年亦曾主張永久磁鐵之磁性係由鋼鐵內之分子電流所發生。本章專對穩定電流所生之磁場有關之事項加以探討。

### 8-1. Biot-Savart 定律

吾人若將第一章所述 Ampère 磁場定律即 Biot-Savart 定律之微分形式(1-20)式書作向量式時，可得

$$d\mathbf{B} = \mu_0 \frac{Idl \times \mathbf{a}_r}{4\pi r^2}, \quad (8-1)$$

此處  $d\mathbf{B}$  為一導體內任意取出一線元件  $dl$  內通過電流  $I$  時，於附近一點  $P$  所生之磁場，例如，圖 8-1(a) 所示，由  $P$  點至  $dl$  元件之

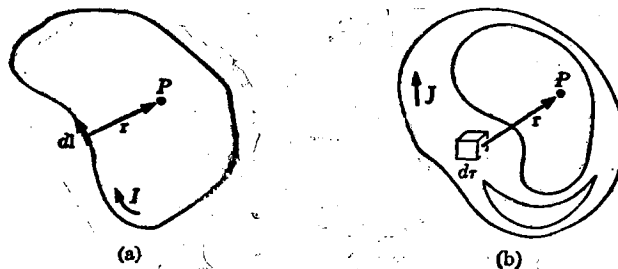


圖 8-1

距離為  $r$ ，此距離用向量表示時可書作  $\mathbf{r} = r\mathbf{a}_r$ 。對於(8-1)式吾人無法由實驗證明，蓋一穩定電流  $I$  必須通過一環路。因此，一穩定電流於周圍任意一點  $P$  所生之磁通密度，必須對環路內所含一切  $Idl$  元件所生磁通密度之向量和加以計算。即

$$\mathbf{B} = \mu_0 \oint \frac{Idl \times \mathbf{a}_r}{4\pi r^2}. \quad (8-2)$$

(8-2)式必須於電流  $I$  通過一幾何線始能成為一準確式；若導線具有一定粗細或各段導線之粗細不同時，則各  $Idl$  元件至  $P$  點之距離  $r$  不能準確被決定，而使由(8-2)式計算之磁場發生誤差。例如，圖 8-1(b) 所示導體內通有電流  $I$  時，即無法決定其各  $Idl$  元件之

距離  $r$ 。為獲得一準確計算起見，可將(8-2)式之線積分改為體積分，此時可書作

$$\mathbf{B} = \mu_0 \int_{\tau} \frac{\mathbf{J} \times \mathbf{a}_r d\tau}{4\pi r^2}, \quad (8-3)$$

此處  $\tau$  為環路內整個導體之體積。對於導體內任意一物理點之電流密度  $\mathbf{J}$  及其至  $P$  點之距離  $r$  均可準確被決定，此不但可避免因積分所生之誤差；蓋積分係將整個環路之任何一點均計算在內，故可由實驗對於計算值加以校核。因電流為電荷之單向運動所形成，且電流線不致互相交切，整個導體即可成為一電流管 (tube of electric current)。於導體截面較大處之電流密度將較小；於截面較小處之密度將較大，此乃(8-3)式中之  $\mathbf{J} d\tau$  可用以代替(8-2)式中  $I dl$  之理由。因此，於一截面均勻之長直導體內，其電流可均勻分布於任何截面上，故於  $P$  點發生之磁場，可視為電流係集中於導體中心之一心線上所形成。此時以導體中心至  $P$  點之距離為  $r$ ，(8-2)式亦可成為一準確公式。

吾人前於第一章所述 Ampère 之磁場定律，即係對一長直導線通有電流  $I$  於周圍所生磁場，而以導線中心至  $P$  點之距離為  $r$  說明者，其情形如圖 8-2 所示。於長直導線內任意  $-dl$  元件導體

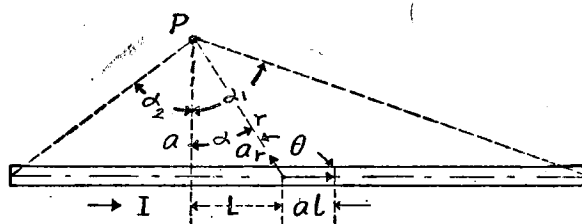


圖 8-2

之體積為  $d\tau$ , 因電流均須垂直於截面  $A$ , 且須平行於導線之軸心, 故  $\mathbf{J}d\tau = JAdl = Idl$ , 此可使(8-3)式變為(8-2)式; 對於導體內任意  $-Idl$  元件所生  $P$  點之磁通密度  $d\mathbf{B}$ , 則可由(8-1)式表示。 $d\mathbf{B}$  之方向可適用右手螺釘法則, 由  $dl \times a$ , 可知, 若以  $dl$  正方向至  $a$ , 正方向為右手螺釘旋轉之方向, 螺釘前進之方向應為  $d\mathbf{B}$  之正方, 可知係垂直於紙面指向前方, 如圖中  $P$  點之小點所示。今因  $dl \sin \theta = dl \cos \alpha$ , 且  $r = a \sec \alpha$ ,  $l = a \tan \alpha$ , 及  $dl = a \sec^2 \alpha d\alpha$ , 將此代入(8-1)式並對  $\alpha$  由  $-\alpha_2$  至  $+\alpha_1$  積分時, 吾人可得

$$B = \int_{-\alpha_2}^{+\alpha_1} \frac{\mu_0 I \cos \alpha d\alpha}{4\pi a} = \frac{\mu_0 I}{4\pi a} (\sin \alpha_1 + \sin \alpha_2)。 \quad (8-4)$$

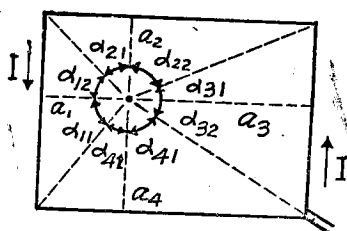


圖 8-3

對於一無限長直導線通有電流  $I$ , 則因  $\alpha_1 = \alpha_2 = 90^\circ$ ,  $P$  點之磁通密度為

$$B = \frac{\mu_0 I}{2\pi a}。 \quad (8-5)$$

至於圖 8-3 所示之直角形單匝線圈, 若假定導體之截面均勻,

則於線圈周圍任意一點  $P$  之磁通密度可書作

$$B = \frac{\mu_0 I}{4\pi} \sum_{n=1}^4 \frac{1}{a_n} (\sin \alpha_{n1} + \sin \alpha_{n2})， \quad (8-6)$$

此處  $a_n$  為  $P$  點至線圈各邊導體中心之垂直距離;  $\alpha_{n1}$  及  $\alpha_{n2}$  為  $P$  點至各頂點距離與  $a_n$  交成之角度。一正方形單匝線圈之邊長為  $2a$  時, 則其周長  $l = 8a$ ; 同時  $\alpha_{n1} = \alpha_{n2} = 45^\circ$  及  $a_n = a$ , 線圈中心之磁通密度應為

$$B = \sqrt{2} \frac{\mu_0 I}{\pi a} = 8 \sqrt{2} \frac{\mu_0 I}{\pi l}。 \quad (8-7)$$

綜合上述，此處有若干重要事項堪值吾人之注意，茲分別說明如下：

1. 一直角形單匝線圈通有一穩定電流  $I$  時，可於其周圍空間發生一穩定磁場，此種磁場應為一靜磁場。磁場內任意一點  $P$  之磁通密度  $B$  均可由 (8-6) 式決定。磁場之成因係基於電流內電荷之單向運動。因此，一穩定電流環路均可視為一磁源 (magnetic source)。此磁源可書作

$$\oint Idl = I \oint dl = Il, \quad (8-8)$$

此處  $l$  為環路之周長。若以此環路內之載流電荷為  $Q$ ，則  $I = Q/t$ ，此處  $t$  為各載流電荷環繞線圈運動一周所需之時間。將此代入 (8-8) 式時，吾人可得

$$Il = \left( \frac{Q}{t} \right) l = Q \left( \frac{l}{t} \right) = Qv \quad (8-9)$$

此處  $v$  為電流載體單向運動之平均速度。此示任何運動電荷之周圍均將具有一定之磁效應。

2. 如於圖 8-3 所示，單匝線圈電流所生之磁場，於線圈所圍面積上任何一點之磁通密度  $\mathbf{B}$ ，係垂直於紙面指向前方，但於線圈以外之面積上，則  $\mathbf{B}$  將垂直於紙面指向後方，蓋由 (8-6) 式計算之結果， $\mathbf{B}$  於線圈外部均應有負值。若將磁通密度  $B$  對於線圈所圍之整個面積加以積分，即可求得由後方向前方通出此面積之磁通  $\phi$ 。但  $\phi$  將於線圈外部返回於紙面之後方，此示電流所生之磁通均須與其電流相鏈 (interlinking)。

3.  $Il$  所生磁通  $\phi$  之大小，除與  $I$  之大小及  $l$  之長短有關外，

尚與線圈之幾何形狀有關。例如一定周長  $l$  之線圈做成正方形時，可較一相同周長通有相等電流之長方形線圈內發生更多磁通；又於長方形之兩短邊愈短時，所生之磁通亦愈少，蓋兩平行導線通有相反方向之電流所生之磁通將互相對消一部分。若將  $Il$  故可能做成互相緊靠之來回兩線時，則長方形之兩短邊即接近於零，此時來回兩電流所生之磁通幾乎完全被對消， $\phi$  即接近於零。吾人常應用此種線圈製造無感阻體（noninductive resistors）。

4. 一簡便方法可用以表示電流與磁通之方向關係，吾人若將右手之姆指伸直並以其他四指環繞姆指時，姆指所指之方向即可用以表示磁通  $\phi$  之方向，而其他四指之方向即為電流  $I$  之方向。

### 8-2. 螺管線圈之磁場

多匝導線均勻繞成之螺旋形線圈內通有電流時，可以發生

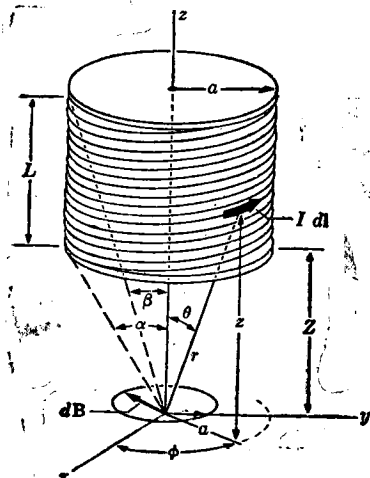


圖 8-4

強力磁場。Ampère 對於長度大於直徑之此種線圈，特名為螺管線圈（solenoid coil）。圖 8-4 即示一單層螺管之情形。於其繞線內通有一穩定電流  $I$  時，可於螺管內發生一磁場與線圈相連。今以螺管之長度為  $L$  及其半徑為  $a$ ，並將螺管之長軸置於直角坐標之  $z$  軸上，其底面位於  $xy$  平面上部距離為  $Z$  處與  $xy$  平面平行。若螺管線圈內

通有一穩定電流  $I$ , 試對其在原點所生之磁場加以考察。今以繞線之起點為  $(a, o, Z)$  如圖中所示, 線圈係沿角度  $\phi$  增大之方向纏繞, 則電流  $I$  亦將指向  $\phi$  增大之方向。如此, 則於繞線內任意取出  $-dl$  元件, 使用球坐標時, 此元件向量可書作

$$dl = \mathbf{a}_\phi ad\phi \quad (8-10)$$

一般, 球坐標之單位向量  $\mathbf{a}_r$  常係由原點指向  $r$  軸增大之方向, 但於 Biot-Savart 定律 (8-1) 式之單位向量則係由來源指向運用點 (目前為原點)。因此, 繞線內任意  $-Idl$  元件於原點所生之磁場, 由 Biot-Savart 定律之微分形式應為

$$d\mathbf{B} = -\mu_0 \frac{Idl \times \mathbf{a}_r}{4\pi r^2} \quad (8-11)$$

將(8-9)式代入(8-10)式, 吾人可得

$$d\mathbf{B} = -\mu_0 \frac{Iaa_\phi \times \mathbf{a}_r}{4\pi r^2} d\phi = -\mathbf{a}_\theta \frac{\mu_0 I a}{4\pi r^2} d\phi \quad (8-12)$$

上式由  $\phi=0$  至  $\phi=2\pi N$  對繞線之全長積分時, 即可求得線圈於原點所生之磁通密度  $\mathbf{B}$ , 此處  $N$  為螺管全長  $L$  內之總匝數。今以  $n=N/L$  為螺管單位長度內所含之匝數, 則此  $Idl$  元件於  $xy$  平面上部之垂直距離可書作

$$z = Z + \frac{\phi}{2\pi n} = a \cot \theta; \quad (8-13)$$

將上式就  $\theta$  加以微分時, 可得

$$d\phi = -2\pi n a \csc^2 \theta d\theta. \quad (8-14)$$

今因  $r=a \csc \theta$ , 將此與(8-14)式代入(8-12)式, 可得

$$d\mathbf{B} = \mathbf{a}_\theta \frac{\mu_0 n I}{2} d\theta \quad (8-15)$$

$$\text{或 } d\mathbf{B} = (\mathbf{a}_R \cos \theta - \mathbf{k} \sin \theta) \frac{\mu_0 n I}{2} d\theta, \quad (8-16)$$

此處  $\mathbf{a}_R$  為磁場之徑向單位向量； $\mathbf{k}$  為磁場之軸向單位向量；上式右邊括弧內第一項為磁場之徑向分量；其第二項則為其軸向分量。今  $\mathbf{a}_R$  位於  $xy$  平面內，由原點指向螺管半徑增大之方向，故可分解為  $x, y$  方向之分量，即

$$\mathbf{a}_R = \mathbf{i} \cos \phi + \mathbf{j} \sin \phi. \quad (8-17)$$

因此，將(8-12)式由  $\phi=0$  至  $\phi=2\pi N$  積分時，僅須  $N$  為整數，其徑向之磁場分量應為零；同時， $N=1, 2, 3, \dots$  之任何一整數，(8-12)式積分之徑向磁場亦均為零。此示每匝導線內電流  $I$  於原點或螺管軸上任意一點所生磁場之徑向分量均應為零。故於(8-16)式之積分不必考慮其右邊括弧內第一項之  $\mathbf{a}_R \cos \theta$ 。不過因繞線不能每匝自成環路，相鄰兩匝間多少有若干傾斜，每匝首尾兩端間之距離謂之繞距 (winding pitch)。此傾斜使電流所生之磁場難免含有少許徑向分量，故於忽視  $\mathbf{a}_R \cos \theta$  項時，即將發生些少誤差。若忽視此種誤差，則整個螺管軸上僅有一軸向磁場，可由(8-16)式右邊括弧內第二項之積分以求之。即

$$\mathbf{B} = -\mathbf{k} \frac{\mu_0 n I}{2} \int_{\alpha}^{\beta} \sin \theta d\theta = \mathbf{k} \frac{\mu_0 n I}{2} (\cos \alpha - \cos \beta). \quad (8-18)$$

因此，於原點置於螺管長軸上任意一點時，即可由(8-18)式決定該點之軸向磁通密度  $B$ 。一無限長螺管線圈內，若將原點置於其長軸上任意一點  $O$ ，則  $O$  點之磁場可於(8-18)式以  $\alpha=\pi$  及  $\beta=0$  而得

$$\mathbf{B} = \mathbf{k} \mu_0 n I \quad \text{或} \quad B = \mu_0 n I, \quad (8-19)$$

此示一無限長螺管軸上任何一點之磁通密度均相同，僅含有一軸

向磁場，其大小係與螺管每單位長度內所含之安匝 (ampere turn) 成正比。

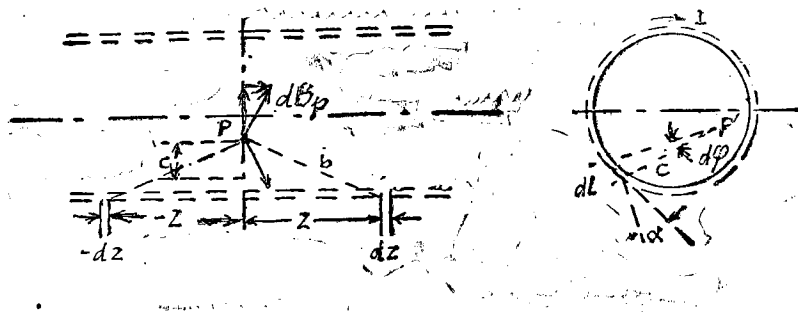


圖 8-5

其次，吾人試對  $xy$  平面上任意一點  $P$  之磁場加以考察。圖 8-5 示  $P$  點在  $xy$  平面上，此時若於  $xy$  平面上部距離為  $z$  處任意取出一厚度為  $dz$  之薄片，其所含之安匝為  $nIdz$ ，將此視為一磁源。然後於此磁源內取出一  $dl$  元件如圖中右邊所示，並以  $P$  點在此薄片上之投影為  $P'$ ， $P$  點至  $dl$  元件之距離為  $b$ ， $P'$  點至  $dl$  元件之距離為  $c$ ，則  $b^2 = c^2 + z^2$ 。此時  $dl$  元件可分解為互相直交之兩分量，其中一分量為  $dl \cos\alpha = cd\varphi$ ，另一分量為  $dl \sin\alpha$ ，各如圖中右邊所示。前者在  $P$  點所生之磁通密度可書作

$$dB_P = \frac{\mu_0 cd\varphi}{4\pi b^2} nIdz, \quad (8-20)$$

其方向係與距離  $b$  垂直，並含有一軸向分量及一垂直於軸向之分量位於  $xy$  平面上，如圖左邊所示。後者雖不能在  $P'$  點發生磁場，根據 Ampère 之磁場定律， $dl \sin\alpha$  於  $P$  點所生之磁通密度可書作

$$dB'_{P'} = \frac{\mu_0 dl \sin\alpha \cos\beta}{4\pi b^2} nIdz, \quad (8-21)$$

其方向係垂直於  $PP'$ ; 換言之，亦係垂直於軸向位於  $xy$  平面上(圖中未畫出)。此時若於  $-z$  處取出另一厚度為  $dz$  之磁源，並於此磁源內一相同之  $dI$  元件與  $+z$  處之  $dI$  元件互相對稱，則另一元件在  $P$  點所生磁場一切垂直於軸向之分量均將與  $+z$  處相同元件所生者，於  $xy$  平面內互相對消；但此兩對稱元件所生磁場之軸向分量，則係大小相等及方向相同。此軸向磁通密度可書作

$$dB_{d\varphi} = \frac{\mu_0 c d\varphi}{4\pi b^2} nI \cos \beta dz. \quad (8-22)$$

首先將上式就  $z$  由  $z = -\infty$  至  $z = +\infty$  積分，即

$$B_{d\varphi} = \int_{-\infty}^{+\infty} \mu_0 nI \frac{cd\varphi}{4\pi b^2} \cos \beta dz, \quad (8-23)$$

此處因  $z = c \tan \beta, dz = c \sec^2 \beta d\beta$ ，及  $b = c \sec \beta$ ；且於積分極限  $z = -\infty$  至  $z = +\infty$  時， $\beta$  卽由  $-\pi/2$  至  $+\pi/2$ 。代入(8-23)式得

$$B_{d\varphi} = \int_{-\pi/2}^{+\pi/2} \frac{\mu_0 nI d\varphi}{4\pi} \cos \beta d\beta. \quad (8-24)$$

將上式之積分結果書作

$$dB_P = \frac{\mu_0 2nI}{4\pi} d\varphi = \frac{\mu_0 nI}{2\pi} d\varphi. \quad (8-25)$$

然後將上式就  $\varphi$  由 0 至  $2\pi$  積分，則  $P$  點之磁通密度為

$$B_P = \int_0^{2\pi} \frac{\mu_0 nI}{2\pi} d\varphi = \mu_0 nI, \quad (8-26)$$

此與(8-19)式所示者完全相同。可知於螺管內整個  $xy$  平面上磁通之分布均勻，此示一無限長螺管內任意一點之磁通密度均為  $\mu_0 nI$ 。所有磁通均係與一切安匝相鏈，此種情形被稱為全通鏈(total flux linkage)。

至於有限長螺管之磁通分布則不能成爲全通鏈，例如，一有限長螺管之長度爲  $L$ ，半徑爲  $a$  時，若原點係置於其中央截面之中心，則因  $-\cos\alpha = \cos\beta = (L/2)/\sqrt{a^2 + (L/2)^2}$ ，可知原點之磁通密度亦僅爲一軸向分量，吾人可書作

$$B = \mu_0 n I \frac{L}{\sqrt{(2a)^2 + L^2}} \quad (8-27)$$

於  $L \gg 2a$  之假設下，上式根號內  $(2a)^2$  對於  $L^2$  可以忽視，而得  $B = \mu_0 n I$ ；與無限長螺管時所述同一理由，其中央截面上之磁通分布均近似爲  $\mu_0 n I$ 。不過於原點置於  $Z=0$  處時，則於底平面上因  $\alpha=\pi/2$ ， $\cos\alpha=0$  及  $\cos\beta=L/\sqrt{a^2+L^2}$ ，故

$$B = \mu_0 n I \frac{L}{\sqrt{(2a)^2 + (2L)^2}} \quad (8-28)$$

於  $L \gg 2a$  之假設下，上式根號內  $(2a)^2$  對於  $(2L)^2$  仍可忽視，而

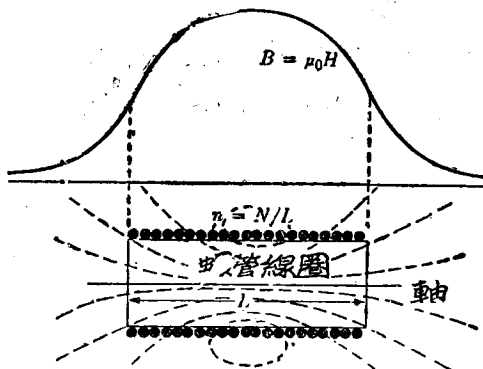


圖 8-6

得  $B = \mu_0 n I / 2$ 。同樣，於原點置於  $Z=L$  處時，則於頂平面上之磁通密度仍爲  $B = \mu_0 n I / 2$ 。因此，螺管兩端面上之磁通密度均應爲

$$B = \frac{\mu_0 n I}{2}, \quad (8-29)$$